

埋立地造成にともなううちあげ高の変化

徳島大学工学部 正員 工博 三井 宏

徳島大学工学部 正員 工修 简井茂明

徳島大学大学院 学生員 ○龜川和正

近年、人工島のような埋立地造成が行なわれているが、従来、構造物本体の安全性に重点がおかれ、隣接する海岸に与える影響についてはあまり考慮されていなかったようである。埋立地が大規模になると、隣接海岸に与える影響も大きくなるものと思われ、とくに、うちあげ高の変化および海岸変形は重要な問題となる。

本研究は、このような見地から、図-1に示すような一様勾配1:10の固定床海岸に鉛直壁よりなる隅角構造物を設置し、模型実験を行なって隣接海岸におけるうちあげ高を検討したものである。

実験に用いた平面水槽は、長さ30m、幅15mである。付表に実験の種類、波高、周期などを示す。ここにType-Aは構造物なし、Type-BおよびType-Cはそれぞれ回折領域、反射領域が生じるよう構造物を設置したものである。

一定水深の場合には、單純隅角部付近の波高分布の近似解¹⁾およびその適用範囲²⁾がすでに求められている。一定水深でない場合でも、これらの結果を応用して、隅角部付近の波高分布を推定できる。基本的な考え方として、一定水深の場合と同様に波を幾何光学的波と散乱波とに分解し、それぞれが独立に屈折するとし、後でそれらを重ね合わせ方法とする。まず、幾何光学的波のみの場合には、水深における入射波高H₀に対する深海波高H₀は、 $H_0 = \bar{K}_s H_0$ で示される。ここに、 \bar{K}_s は水深における浅水係数である。この深海波高H₀を用い、水深における波高Hは次式で求められる。

$$H = K_s \cdot K_r \cdot H_0 \quad (1)$$

ここに、 K_s 、 K_r はそれぞれ水深における浅水係数、屈折係数である。つまに散乱波のみの場合には、図-2に示すようにO点で発生した散乱波はQ点まで直進し、Q点より屈折してP点に達する。このP点における散乱波高を得るために、全海域が一定水深の場合の散乱波高|X|と近似理論により求める。ただし、このときの距離rには屈折直交線に沿う距離r₁を用いる。この散乱波高|X|と等しい波高を有する平面波が入射すると仮定すると、屈折および浅水係数の影響を受けたP点の波高H_xは以下のようになる。

$$H_x = K_s \cdot K_{rx} \cdot (|X| / \bar{K}_s) \quad (2)$$

ここに、 K_{rx} は散乱波に対するP点での屈折係数である。

以上の2つの波高の和がその地点における「最大波高」である。このようにしてえられた碎波直前の地点での波高と入射波高H₀との比をK_xとし、図-5(a)、図-6(a)に実験で示す。

うちあげ高については、従来、多くの研究がなされてきたが、こ

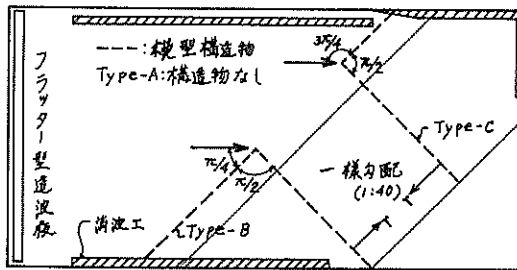


図-1 実験装置設置状況

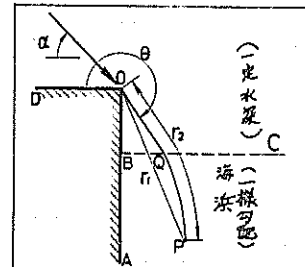


図-2 散乱波高の求の方

さて図-3に示すように、Hunt³⁾の実験式と Saville の実験値(勾配 1/10, 1/30)とは、われわれの実験範囲内($H_0/L_0 = 0.01 \sim 0.04$)でよく一致しているので、勾配 1/40 の斜面に対するものとすこし示す Hunt の実験式が成立するものと思われる。

$$R = C_p \cdot H'_0 \cdot \tan \beta \cdot (H'_0/L_0)^{-1/2} \quad (3)$$

ここに、 R は静水面からの鉛直うちあげ高、 C_p は海岸の空気係数(ここでは、 $C_p = 1$)、 H'_0 、 L_0 は相当深海波高および波長、 $\tan \beta$ は海岸勾配である。

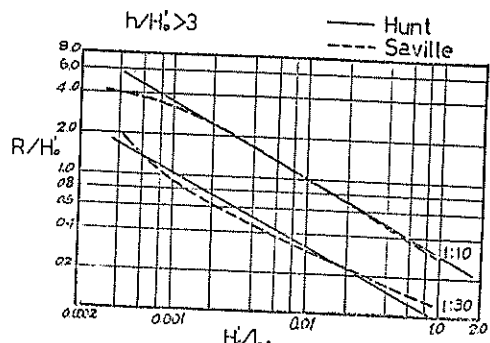


図-3 波のうちあげ高

また、波が斜面に入射した場合、うちあげ高は直角入射の場合より小さくなるが、この減少量を求めた研究は数少なり。ここでは、細井、首藤⁴⁾が一定水深に設置した 1/2 勾配の堤防に波が斜面に入射した場合のうちあげ高の変化を調べた実験より減少量を推算した。たゞし、入射角 α' としては、入射領域および回折領域にありては碎波直前の水深での屈折入射角を用いた。反射領域における入射角は $\alpha' = 0$ とした。これは、入射波と反射波による重複波が構造物壁面に沿って進行するためである。

したがつて、先に述べたように 1/2 碎波直前の地点での波高を求め、この波高と等しい波高を有する平面波と仮定し、この波が海岸に直角に入射する場合のうちあげ高を(3)式で求め、さうに、角の入射による減少量を補正すれば所要のうちあげ高が得られる。

こうようにして求めたうちあげ高 R と実験で用いた入射波に対する深海波高 H_0 との比 R/H_0 は、実験結果とともに、図-4、図-5(b)、図-6(b)に曲線で示す。なお、距離では、Type-A につりては水槽側壁に設置した消波高の影響がかなりある地点を原点とし、Type-B および Type-C につりては構造物壁面を原点とした距離である。また、これらの図において、実験は斜め入射による減衰を考慮した場合であり、破綻は直角入射の場合、すなわち、減衰を考慮しない場合である。

これらの図からつぎのようなることがわかる。

(a) 波高分布に関しては、Type-B の場合には理論値と理論計算値とはほぼ一致していはずが、Type-C の場合には反射領域において実験値が理論計算値よりも大きくなっている。この原因としては、この領域において複雑な流れとくに壁面に沿って計方向へ向う早い流れが生じたこと、有限振幅波であるのに微小振幅波理論によつて計算したことなどが考えられる。

(b) うちあげ高に関しては、実験値は理論計算値とほぼ一致していらずかそれよりも小さい。実験値にばらつきがあるのは、模型海岸に多少の凹凸があること、また、先に述べたような流れの影響があることなどが原因と考えられる。構造物設置前のうちあげ高(図-4)にくらべて、構造物設置後のうちあげ高は、回折領域において図-5(b)に示すように 0.5~0.9 倍となり、反射領域においては図-6(b)に示すように 1.5~1.8 倍となつている。この結果から推論すると、在来海岸の反射領域側では、堤防と増強する必要が生じてこよう。なお、以上のようは、埋立地造成にともなう隣接海岸へのうちあげ高の推算は、従来の研究成果を組みあわすことにより十分可能であることがわかる。

最後に、本研究は文部省特定研究費(代表者 北海道大学 尾崎晃教授)および総合研究費(代表

名 神戸大学 岩垣雄一教授)によるとあることを付記する。

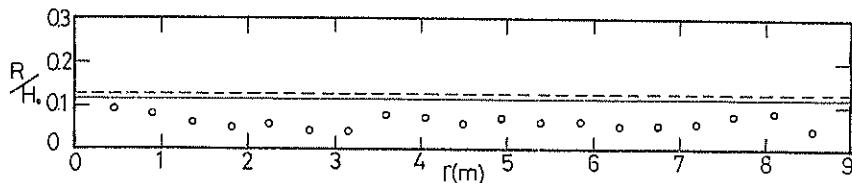


図-4 うちあげ高 (Type-A $T=1.0\text{sec}$)

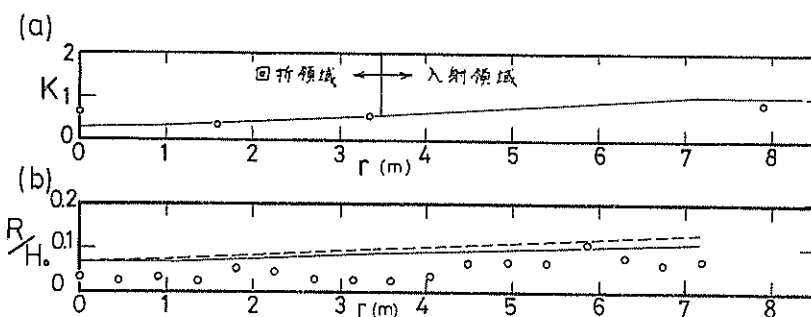


図-5 (a) 波高分布 (b) うちあげ高 (Type-B $T=1.0\text{sec}$)

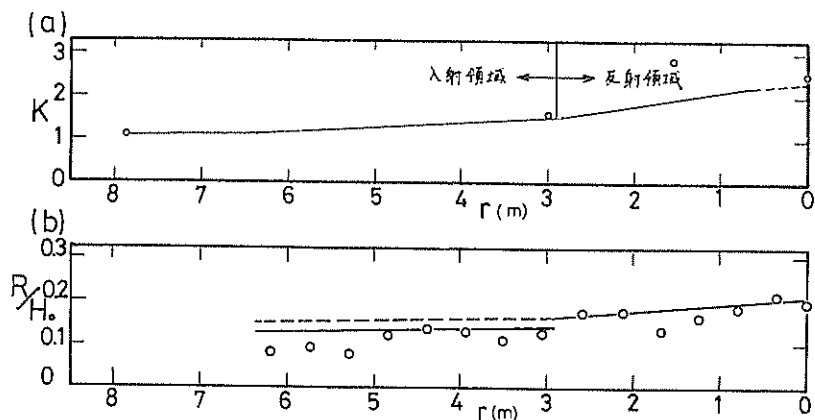
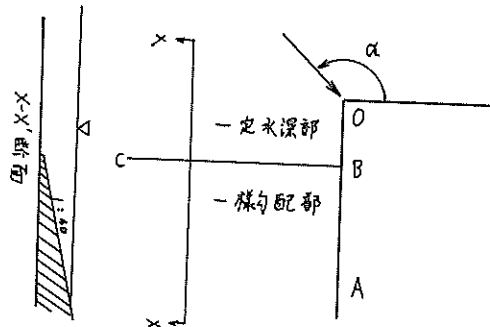


図-6 (a) 波高分布 (b) うちあげ高 (Type-C $T=1.0\text{sec}$)

付表 実験に用いた他



Type	入射角 α	水深 h (cm)	周期 T (sec)	波長 L (cm)	入射波高 H (cm)			H_0 (cm)	H_0/L_0
					N点	S点	平均		
A		20	0.8	88.7	3.93	3.80	3.87	4.22	0.042
		"	1.0	121.2	5.02	4.91	4.97	5.42	0.035
		"	1.7	227.0	4.41	4.33	4.37	4.18	0.009
B	$\pi/4$	20	0.8	88.7	4.17	4.10	4.14	4.51	0.045
	"	1.0	121.2	4.81	5.01	4.91	5.35	0.034	
	"	1.7	227.0	4.62	3.76	4.19	4.01	0.009	
C	$3\pi/4$	20	0.8	88.7	3.92	3.63	3.78	4.12	0.041
	"	1.0	121.2	4.80	4.82	4.81	5.24	0.034	
	"	1.7	227.0	4.13	4.47	4.30	4.12	0.009	

参考文献

- 1) 三井宏・筒井茂明; 海岸構造物不連続部の波高分布について(第5報) —X(に斜面・設計への適用—, 第17回海岸工学講演会論文集, 昭.45.11., 土木学会, pp.85~90
- 2) 三井宏・筒井茂明・龜川和正; 現場向きの防波堤付近の波高分布推算法, 第16回海岸工学講演会論文集, 昭.46.10., 土木学会, pp.71~75
- 3) Hunt, I.A; Design of seawalls and breakwaters, U.S. Corps Engr, Lake Surv. Detroit, 1959, p.49
- 4) 土木学会編; 水理公式集 昭和46年度改訂版, 昭.46.11., 土木学会, pp.532~533